

 ADDOPTML2024

 OPTARC+2024

 OPT-ii2024

1st ADDitively Manufactured OPTimized Structures by means of Machine Learning

2nd International Conference on Optimization Driven Architectural Design

2nd Engineering and Applied Sciences Optimization

Jordan, October 1st - 4th 2024



The Technological Evolution in Flood Risk Estimation

G.-Fivos Sargentis*, Matina Kougkia, Romanos Ioannidis, Ioannis Benekos, Theano Iliopoulou, Panayiotis Dimitriadis, Antonis Koukouvinos, Dimitra Dimitrakopoulou, Nikos Mamassis, Alexia Tsouni, Stavroula Sigourou, Vassiliki Pagana, Evangelia Frangedaki, Nikos D. Lagaros, Charalampos (Haris) Kontoes, Demetris Koutsoyiannis



National Technical University of Athens

School of Civil Engineering

National
Observatory
of Athens



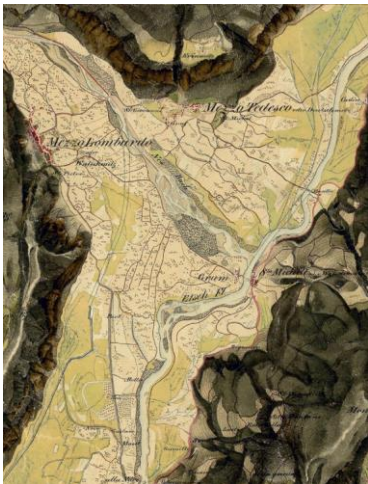
Contents

- Introduction
- Historical approaches of flood risk studies
- Comparison of historical and modern approaches
- Modern methodology for field research
- Evaluation of historical and modern mapping tools
- Modern approaches of flood risk studies
- Timeline of the appearance of modern tools
- Conclusions

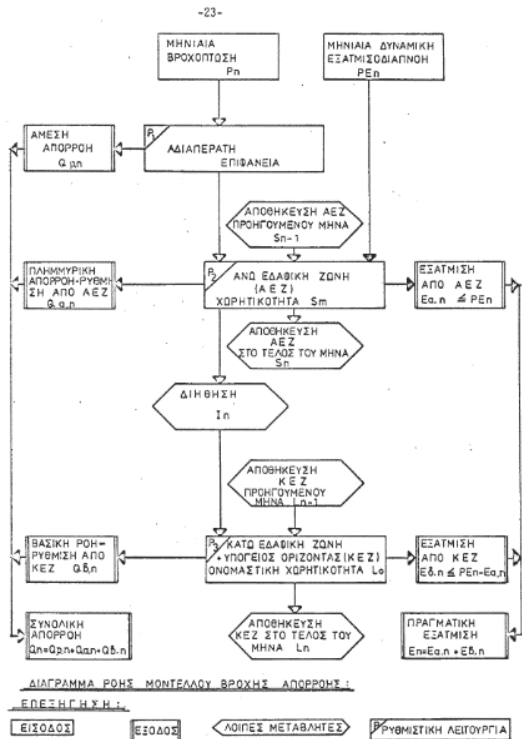
Introduction

- The advancement of technology has transformed flood risk estimation from rudimentary manual calculations to sophisticated computer-based models.
- This research traces the evolution of flood risk assessment methods, comparing the analog approaches of the 1970s with modern digital tools.
- In the past, engineers relied on basic hydrological formulas, manual data collection, and physical models to estimate flood risks, often resulting in limited accuracy.
- Today, modern software like HEC-RAS, digital elevation models, and satellite imagery have revolutionized this field, providing highly detailed and precise flood hazard maps.
- In this research, we applied the above tools to the Pikrodafni river in the Attica region as a case study to showcase the impact of technological advancements on flood risk management, emphasizing on how digital tools enable better mitigation strategies and contribute to urban resilience against flood hazards.

Historical approaches of flood risk studies



A detail, close to the Noce-Adige rivers junction, north to Trento, of the map of the “Second Military Survey”, also named Franziszeische Landesaufnahme, sketched between 1816 and 1823 for the Adige river area in 1:28.800 scale.[1]



Flow chart of the rainfall-runoff model [2]

ΠΙΝΑΚΑΣ 1.2.1. ΜΕΣΕΣ ΜΗΝΙΑΙΕΣ ΘΕΡΜΟΚΡΑΣΙΕΣ ΣΤΑΘΜΟΥ ΟΡΣΣΑΡΑΝΙΚΗΣ

ΥΨΟΣ, z (m)	0	N	Δ	Ι	Φ	Μ	Α	Μ	Ι	Α	Σ	
1959-60	15,79;	13,23;	12,33;	7,02	7,82	9,31	13,93	19,04	23,39	25,40	26,37	20,43
1960-61	15,46	14,51	11,50	5,68	6,97	12,09	16,57	19,54	23,98	25,71	26,27	22,46
1961-62	17,94	13,91	7,13	7,09	5,57	9,98	14,91	21,63	23,08	25,92	27,60	22,75
1962-63	17,46	14,39	5,49	3,63	7,17	8,54	13,99	18,78	23,83	27,26	26,89	23,31
1963-64	17,01	13,72	7,99	3,45	6,28	9,98	14,35	18,03	23,99	25,18	24,89	20,38
1964-65	17,56	12,78	8,75	6,74	3,07	9,82	13,27	18,04	24,09	25,87	24,26	22,42
1965-66	16,69	12,00	8,49	4,51	11,23	10,16	15,67	18,87	22,68	26,43	26,64	22,21
1966-67	20,39	13,15	7,77	4,58	5,74	10,28	13,66	19,39	22,46	25,57	26,81	22,25
1967-68	18,20	12,82	7,68	4,04	8,65	9,50	15,64	21,82	23,31	26,45	24,33	22,16
1968-69	16,30	13,09	7,05	4,17	8,40	8,81	13,22	21,33	23,58	24,45	25,26	23,01
1969-70	16,66	13,19	8,65	7,62	8,43	10,21	15,98	17,36	23,43	25,18	25,68	21,82
1970-71	15,95	11,84	7,63	8,95	6,90	8,77	13,54	20,33	23,24	24,46	25,82	20,42
1971-72	14,90	11,26	8,28	6,67	7,52	10,36	15,42	19,51	24,42	25,59	25,32	23,23
1972-73	13,20	11,53	6,48	4,86	8,11	8,03	13,85	20,06	22,63	26,13	24,78	22,28
1973-74	16,83	9,16	6,17	6,18	8,76	10,18	12,41	18,22	22,27	25,30	25,81	21,74
1974-75	18,12	11,29	7,18									
1975-76				6,50	6,55	8,80	14,52	18,91	22,48	24,70	22,41	20,34
1976-77	17,45	12,20	7,37	6,70	10,90	11,20	14,20	19,90	23,60	26,10	25,60	20,80
1977-78	15,20	13,40	5,50	5,09	8,50	17,70	13,50	18,34	24,28	25,82	24,57	19,46
1978-79	15,06	9,21	9,17	5,04	8,13	12,00	12,96	19,68	24,86	25,12	24,45	21,11
1979-80	15,33	12,41	8,66									
M.T.	16,73	12,45	7,96	5,73	7,62	10,30	14,29	19,41	23,45	25,61	25,46	21,55

Monthly meteorological data [2]

Hydrological study

Data collection			
Task	Past	Present day	Remaining challenges
Rainfall data acquisition	Engineers collected and digitized data contacting related services	Data are widely available in public databases.	An amount of data is still privately handled and non-digitized.
Land use data acquisition (infiltration)	Engineers performed field investigation or relied on literature estimates.	Public land use databases exist.	Changes in land use may not be well-represented in remote sensing data and field investigation may still be necessary.
Runoff data acquisition	Data not widely available. Sparse data collected and digitised by engineers contacting related services	Some open databases exist. Flood-extent satellite-based estimates are available in some cases. Crowdsourcing data can be used for validation purposes.	Reliable gauge-based runoff data are still sparse and not publicly available.
Locating and registering of previous storm - flooding events	Engineers attempted loose-format interviews with citizens during field-work.	The communication with the citizens can be achieved through in-line questionnaires, in Municipalities sites, etc, in a more flexible manner.	Information upon previous flooding incidents should be gathered from a certain institution (Municipality, Political Protection, Firefighting).

Methodology			
Task	Past	Present day	Remaining challenges
Design rainfall estimation	Engineers performed simplified probabilistic analyses using data from a few stations.	Design rainfall information is already available at the country-level.	Robust design rainfall estimation is still challenging at the spatial scale.
Hyetograph estimation	Standard design practices applied manually or in a spreadsheet environment.	Standard design practices applied in spreadsheet environments or using software.	
Rainfall-runoff transformation	Related methods had to be studied and applied manually by engineers.	A multitude of rainfall-runoff transformation methods is available in open-source and ready to use hydrologic software.	Selection of the best method is subject to uncertainty due to the lack of rainfall-runoff data for many basins.

Hydraulic study

Task	Past	Present day	Remaining challenges
Data collection			
Survey studies.	Engineers collected and digitized data contacting related services	Data are widely available in public databases, and easier collected.	An amount of data is still privately handled and non-digitized.
Land use data acquisition specialized for Manning's roughness values.	Engineers performed field investigation or relied on literature estimates.	Public land use databases exist.	Changes in land use may not be well-represented in remote sensing data and field investigation may still be necessary.
Sensitivity analyses by generating thousands of scenarios with different parameters' input set.	Non-applicable.	High computational power.	Low even more the computational burden to extend the sensitivity analyses and perform surrogate scenarios.
Flood extent data.	No data.	Satellite images, crowd sourcing data.	Image quality, availability
Methodology			
Flood parameters in 2D (depth, velocity and runoff).	Physical hydraulic models and empirical estimations mainly in 1D.	Hydraulic software.	Increase even more the accuracy of the hydraulic models without further increasing the computational burden.

Modern methodology for the field research

ΠΡΟΓΡΑΜΜΑΤΙΚΗ ΣΥΜΒΑΣΗ ΜΕ ΤΗΝ ΠΕΡΙΦΕΡΕΙΑ ΑΤΤΙΚΗΣ 2021

ΕΚΤΙΜΗΣΗ ΚΙΝΔΥΝΟΥ ΠΛΗΜΜΥΡΑΣ - ΜΕΘΟΔΟΛΟΓΙΑ ΓΙΑ ΤΙΣ ΑΥΤΟΨΙΕΣ

1. ΠΡΟΠΕΞΕΡΓΑΣΙΑ ΟΜΑΔΑΣ ΣΥΝΤΟΝΙΣΜΟΥ

Εγκαθιστούμε το Google Earth Pro στον υπολογιστή μας, μελετούμε το υδρογραφικό δίκτυο και τις διαθέσιμες πηγές πληροφοριών (master plan, μελέτες, παρατηρήσιμο πλημμυρών, google earth, ΕΛΣΑΤ), και τοποθετούμε πινακές στα κρίσιμα σημεία (από κατώτη προς ανώτη), σύμφωνα με την κωδικοποίηση του Πίνακα 1.

Εγάζουμε ένα κπκ, το οποίο το χωρίζουμε για κάθε μία υποομάδα εργασιών ανάλογα με την περιοχή που θα καλύψει, από κατώτη προς ανώτη.

2. ΠΡΟΕΤΟΙΜΑΣΙΑ ΟΜΑΔΑΣ ΑΥΤΟΨΙΩΝ

Εγκαθιστούμε το Google Earth στο κινητό, παίρνουμε τις πιναξίδες από τον υπολογιστή, και κάνουμε sign in στο Google Photos (κάθε λευγάρι θα δημιουργήσει ένα κωδικό χρωματιστού φάκελου) όπου δημιουργούμε ένα λευκωμά για κάθε ημέρα αυτοψίας με κωδικοποιημένη ονομασία ώστε να φαίνεται η ημερομηνία και τα άτομα ως εγγί 2021-03-13-5ιστουρου+Τσουμι.

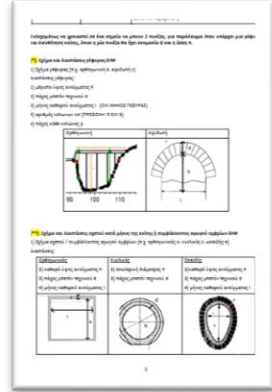
Εγκαθιστούμε το πρόγραμμα MAPS.ME στο κινητό και τηλέφωνο και κατεβάζουμε τον χάρτη της Αττικής. Μελετούμε και εκτυπώνουμε τις ΟΔΗΓΙΕΣ ΓΙΑ ΤΙΣ ΑΥΤΟΨΙΕΣ και τον ΠΙΝΑΚΑ 1.

ΟΔΗΓΙΕΣ ΓΙΑ ΤΙΣ ΑΥΤΟΨΙΕΣ

Δεν μπαίνουμε σε ξένες ιδιοκτησίες χωρίς άδεια. Προσέχουμε την ευταξία των πρανών όταν πλημμυρίζουν στην κοίτη. Δεν διακινδυνεύουμε τη σωματική μας ακεραιότητα σε καμία περίπτωση. Σε περίπτωση που μας πλημμυρίσει κάποιου/α και μας ριπώσει σχετικά με το έργο, ενημερώνουμε το γονεακό έτα πρόκειται για νέο έργο της Περιφέρειας Αττικής που αφορά στην αυτοπλημμυρική προστασία των Δήμων. Τηλέφωνο ανάγκης: 6974461210, Αλεξία Τσιούνη (Εθνικό Αεριοκοιτίο Αθηνών).

Στην περίπτωση που επιθυμούμε να μετακινήσουμε από ένα σημείο σε ένα άλλο και μεριάζουμε τοποθεσία στο Google Maps για να χρησιμοποιήσουμε την πλοήγηση, πατάμε παρατηρήματα στο Google Earth πάνω στο σημείο που επιθυμούμε να πάμε (έτσι πρόκειται για πιναξίδα είτε για άλλο σημείο), κι αυτό εμφανίζεται ως «ποσοθητημένη πιναξίδα». Στη συνέχεια αντγράφουμε τις συντεταγμένες και τις επικολούμε στο Google Maps, και έτσι είμαστε σε θέση να πλοηγηθούμε στη συγκεκριμένη τοποθεσία.

Όμοιο δείγμα	Αίτια ομοιοτήτων	Παρατηρήσεις
	Επίπεδο	Επίπεδο κατασκευή, μήκος 70m, ύψους 10cm, 10cm
	Επίπεδο	Επίπεδο κατασκευή, μήκος 70m, ύψους 10cm, 10cm
	Επίπεδο	Επίπεδο κατασκευή, μήκος 70m, ύψους 10cm, 10cm
	Επίπεδο	Επίπεδο κατασκευή, μήκος 70m, ύψους 10cm, 10cm
	Επίπεδο	Επίπεδο κατασκευή, μήκος 70m, ύψους 10cm, 10cm



Οδηγίες για αυτοψίες κατασκευών, καθώς και αυτοψίες τοποθέτησης

ΕΠΙΣΤΡΟΦΕΣ

Εάν υπάρχει κάποιος κίνδυνος:

- Εάν υπάρχει κάποιος κίνδυνος:
- Εάν υπάρχει κάποιος κίνδυνος:

ΔΙΕΠΕΡΙΣΤΡΟΦΕΣ ΑΥΤΟΨΙΩΝ

Οι αυτοψίες θα γίνονται με σκοπό την επίλυση των προβλημάτων που προκύπτουν κατά τη διάρκεια των αυτοψιών.

- Ανοίξιμο κανάλι, από τον αέριο (σχεδίαση)
- Κατασκευή τοιχίου

6. ΚΑΤΑΧΩΡΗΣΗ ΔΕΔΟΜΕΝΩΝ ΑΥΤΟΨΙΩΝ

Οι αυτοψίες θα γίνονται με σκοπό την επίλυση των προβλημάτων που προκύπτουν κατά τη διάρκεια των αυτοψιών.

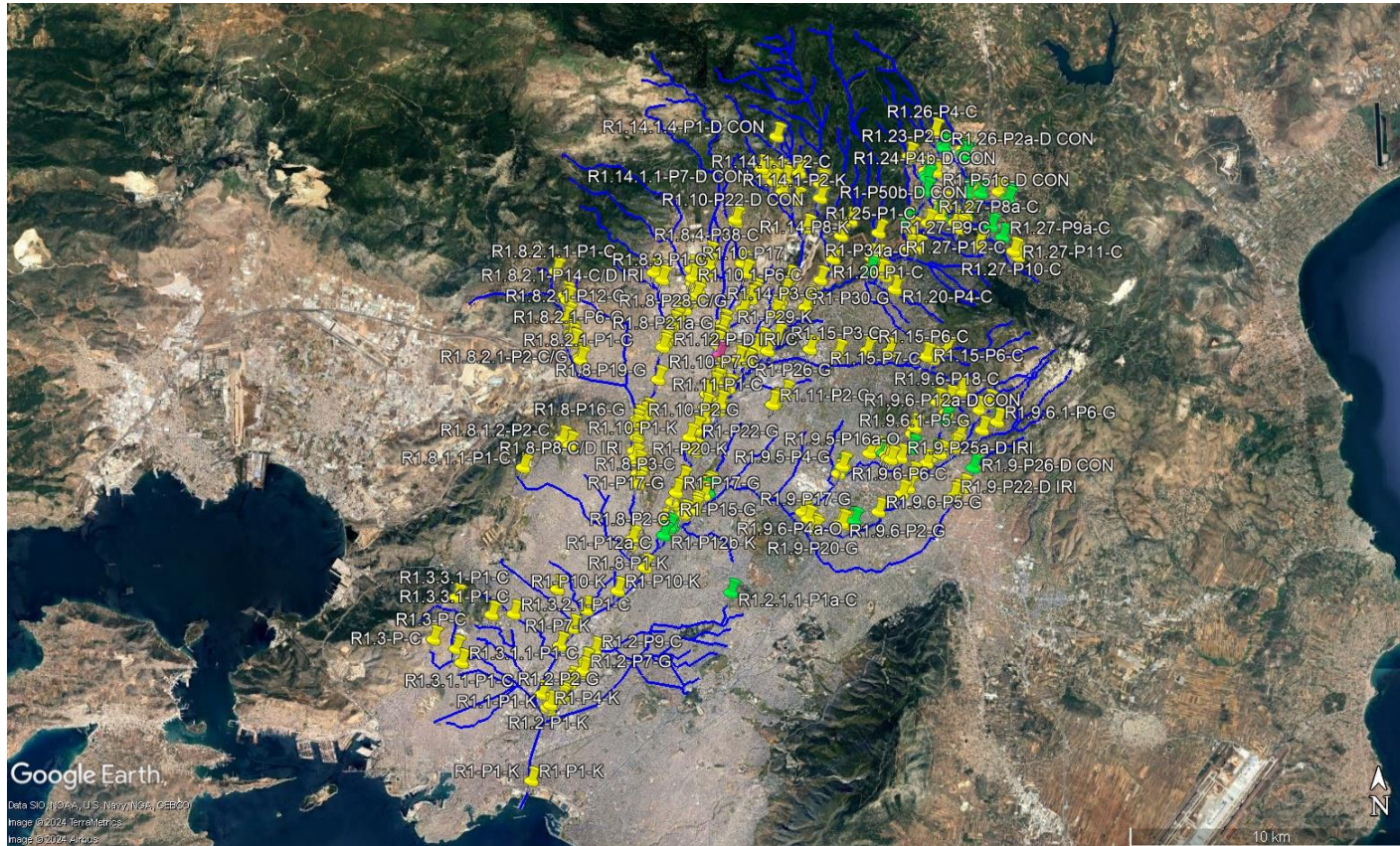
Ενδεικτική φωτογραφία της κατασκευής που μελετάται (ήδη από την προηγούμενη αυτοψία).

ΠΡΟΣΤΑΣΙΑ ΚΑΙ ΤΗΝ ΟΜΑΔΑ ΣΥΝΤΟΝΙΣΜΟΥ

Οι αυτοψίες θα γίνονται με σκοπό την επίλυση των προβλημάτων που προκύπτουν κατά τη διάρκεια των αυτοψιών.

Όμοιο δείγμα	Αίτια ομοιοτήτων	Παρατηρήσεις
	Επίπεδο	Επίπεδο κατασκευή, μήκος 70m, ύψους 10cm, 10cm

Modern field research



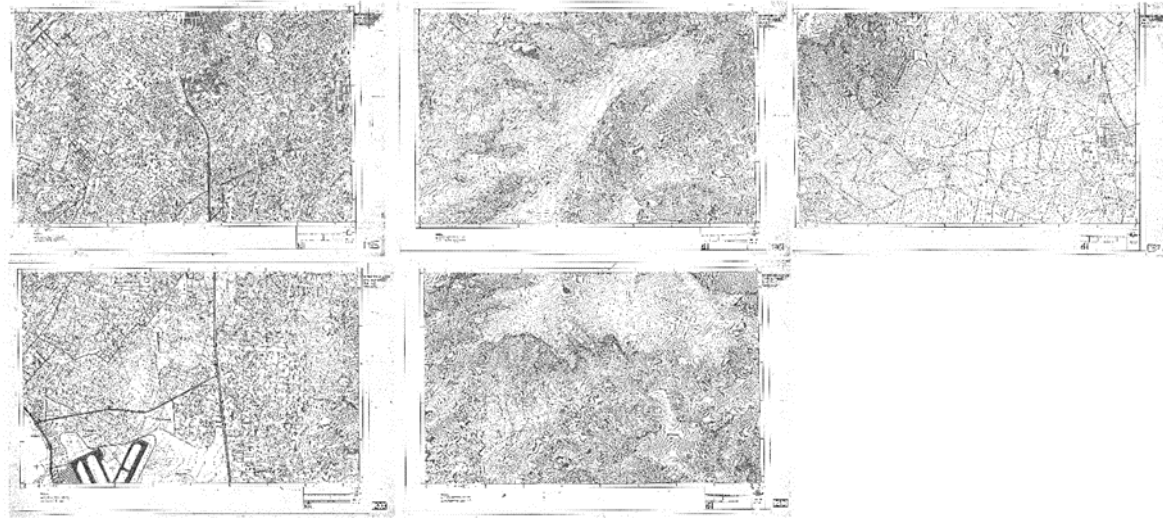
[3, 4, 5]

370 positions

Survey study

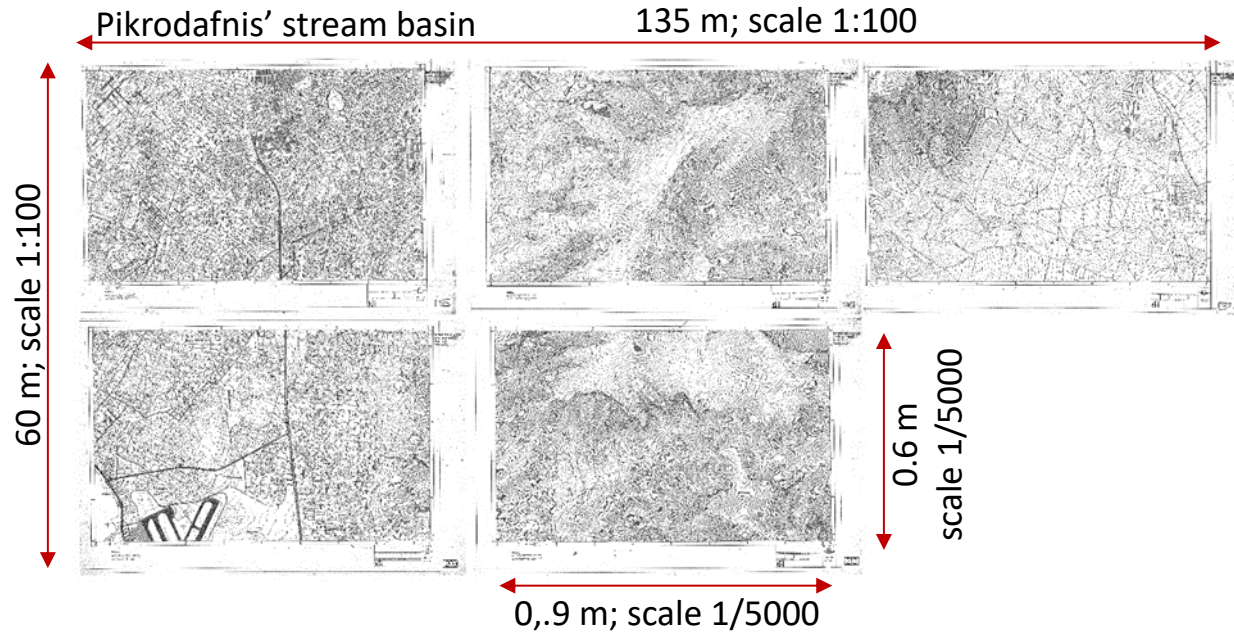
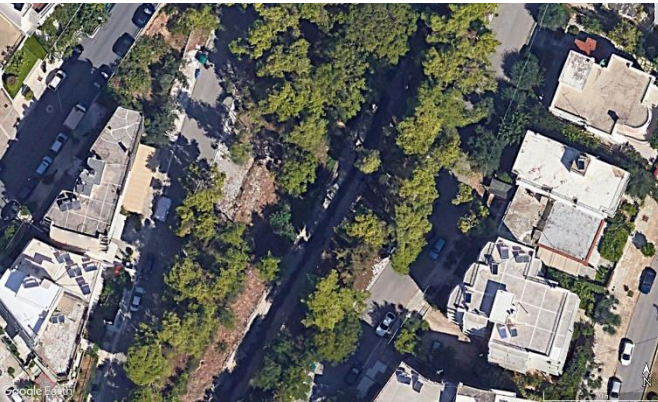


Pikrodafnis' stream basin



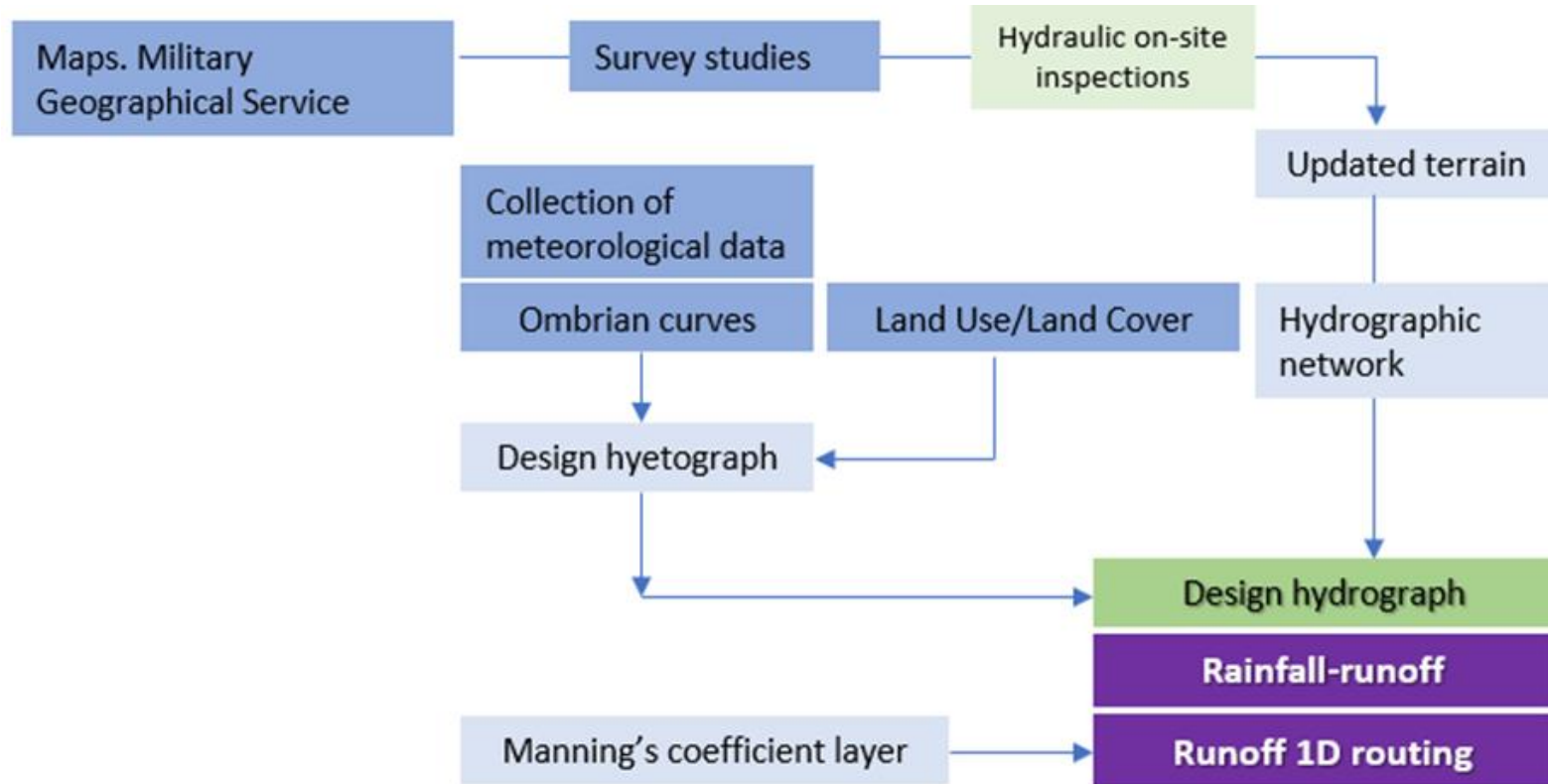
- Each map in scale 1:5000, represents an area about 4.5 km horizontally and 3 km vertically.
- The physical dimension of each map (without borders) is 0.9m×0.6m

Evaluation of historical and modern mapping tools

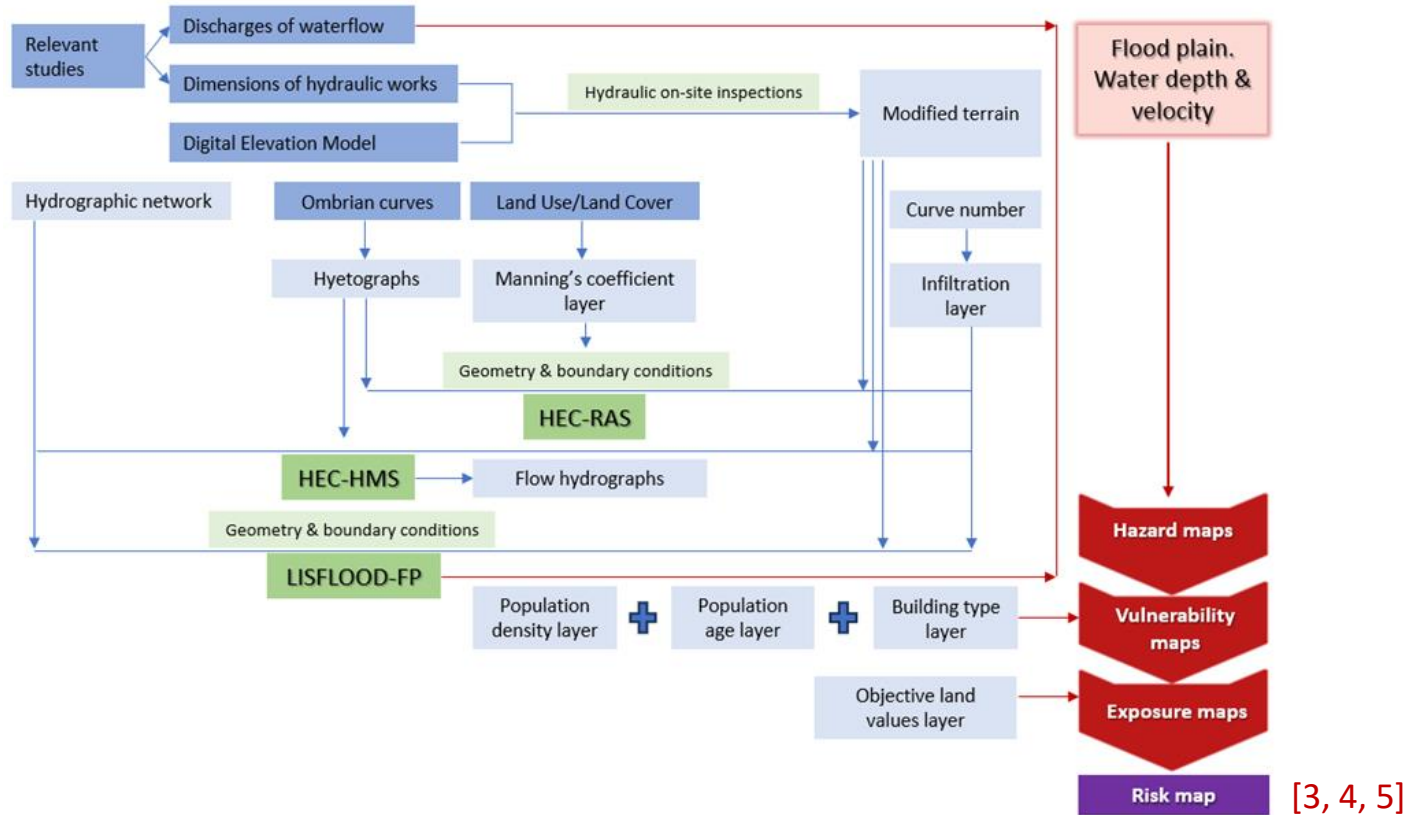


- The information given by Google Earth are corresponding with a map in scale 1:100
- The dimensions of the map of Pikrodafnis' basin in scale 1:100 will be about 135×60 m

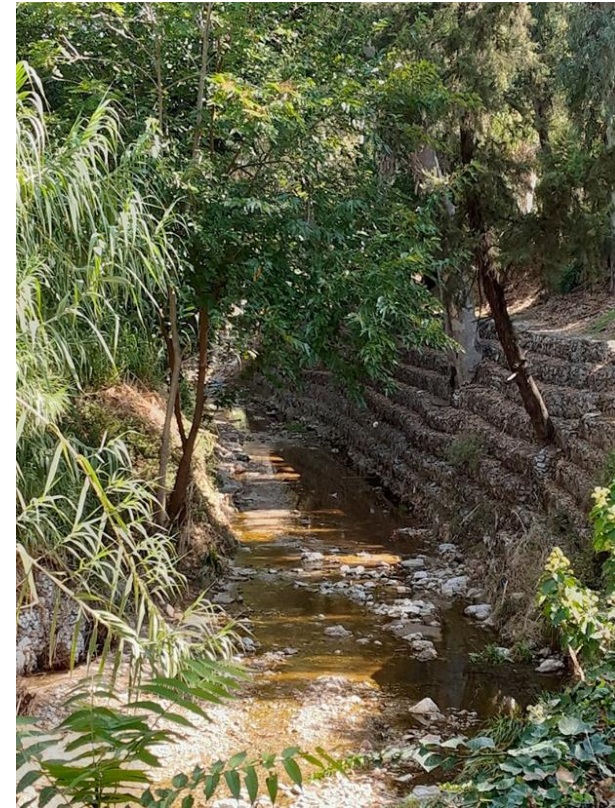
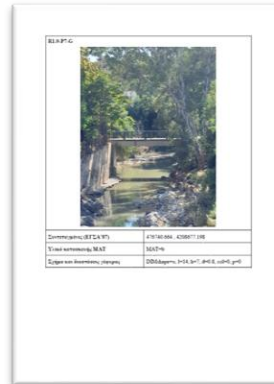
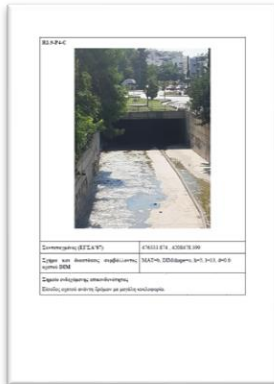
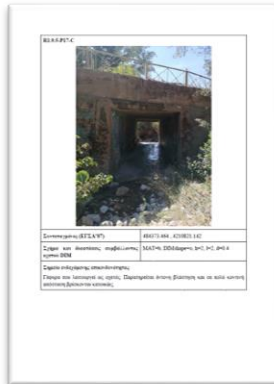
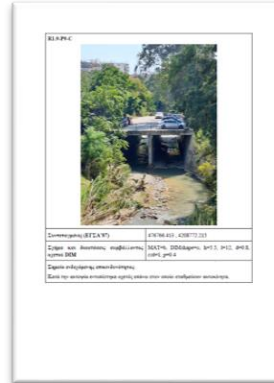
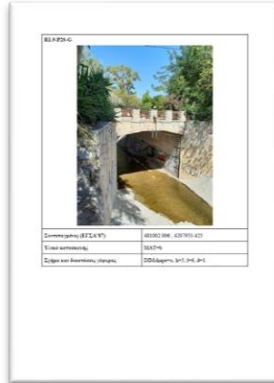
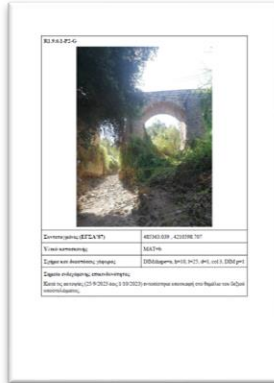
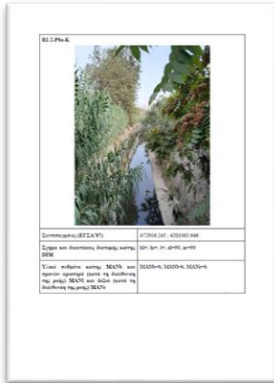
Historical approaches of flood risk studies



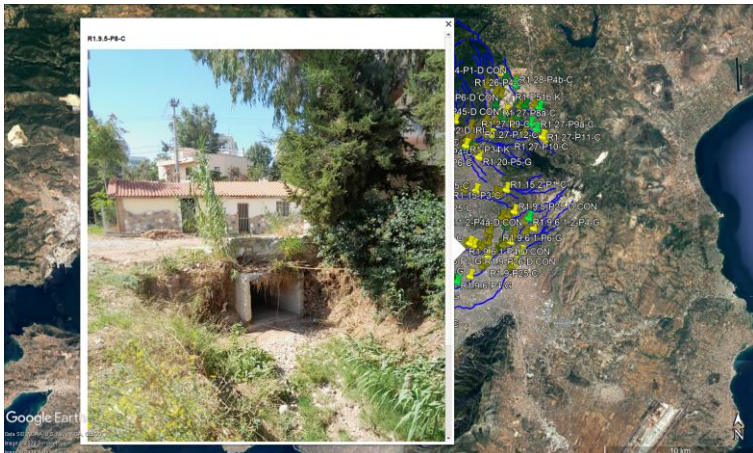
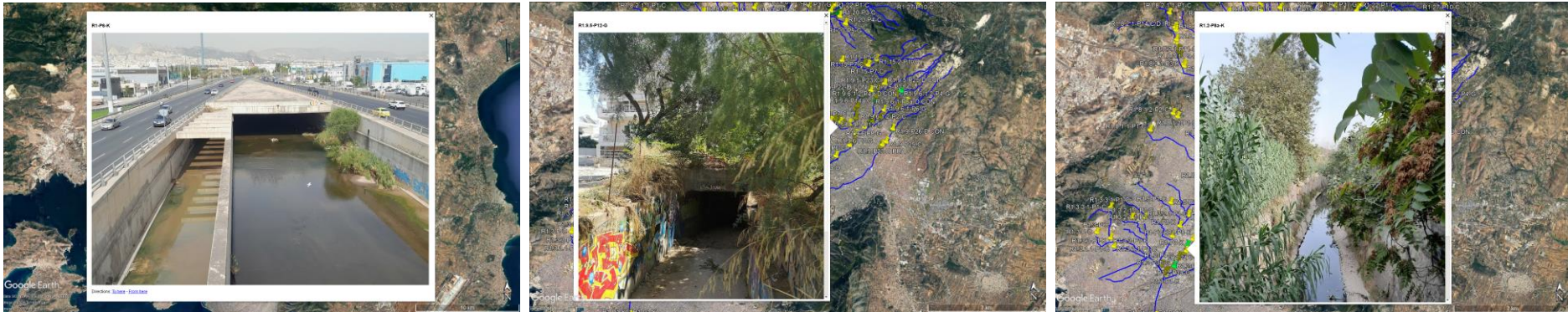
Modern approaches of flood risk studies



Report of flood risk study and field research (1)



Report of flood risk study and field research



	A	B	C	D	E	F	G	H	I	J	K	L	M	N	O	W	description of risk	Y	Z	AA	AD
1		MAT (τη Μετρούβη, Έλεφαν, Ξυλομεταλλωμένο)	DIM shape ορθογώνιο ο, ομαλό α, κυκλικό ε, υαλοπίνακας	DIM h (m)	DIM d (m)	DIM l (m)	DIM col number	DIM pi (m)	DIM al (degrees)	DIM ni (degrees)	DIM hr (m)	MANd Επ.χ. Χάλαση, Φασκόμορφο, Πέτρας, Συμμορφωμένος, Μετρούβη	MANr ΚΑΤΑ ΤΗ ΔΕΥΤΕΡΗ ΤΗ ΡΟΗ	MANi (yes/no)	HIGH RISK		description of risk	Y SOURCE	Z υποκατηγορία	AA notes παρατηρήσεις, σχόλια, ΠΡΟΣΒΑΣΗ ΔΕΝ ΕΝΤΟΦΙΣΤΗΚΕ	AD Ημερομηνία Έργου φιλτογράφος
92	R11 & P25-G																				23/09/2023, 12:15
93	R11 & P26-G																				23/09/2023, 12:19
94	R11 & P27-C	b	a	3.5	1.0	5.5															23/09/2023, 12:23
95	R11 & P28-C																				23/09/2023, 12:38
96	R11 & P29-C			4.0	0.5	6.4	0														23/09/2023, 12:41
97	R11 & P30-G																				23/09/2023, 12:44
98	R11 & P30a-C	b	c	3.0		2x4.0															23/09/2023, 12:45
99	R11-P11-K																				23/09/2023, 12:50
100	Group 3.1																				
101	R11 & P8-G	b	a	3.05		5											κίνδυνος σε περίπτωση φροξύματος	yes		όχι καλή μέτρηση λόγω έλλειψης πρόσφυσης	

Modern approaches of flood risk studies



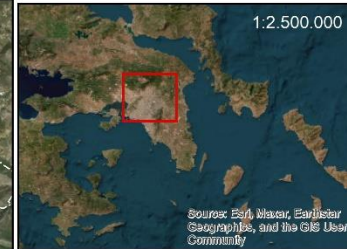
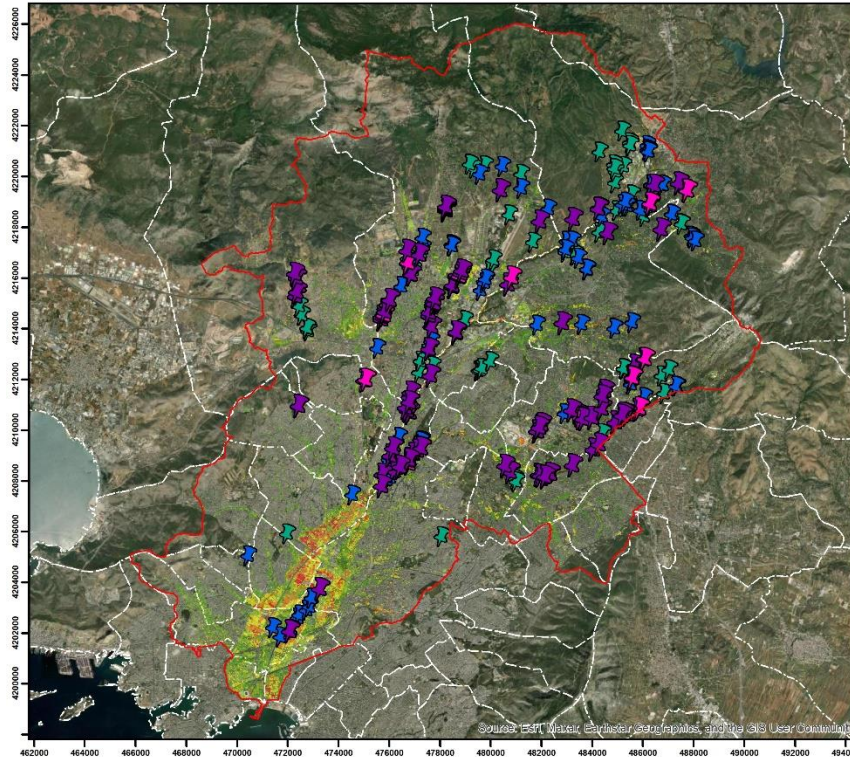
BEYOND
Centre of Earth Research & South-East Asian Centre

Εκτίμηση κινδύνου πλημμύρας
Λεκάνη απορροής του ποταμού Κηφισού



ΕΛΛΗΝΙΚΗ ΔΗΜΟΚΡΑΤΙΑ
ΠΕΡΙΦΕΡΕΙΑ ΑΤΤΙΚΗΣ

Εκτίμηση Κινδύνων
Σεισμού, Πυρκαγιάς
& Πλημμύρας στην
Περιφέρεια Αττικής



Κίνδυνος Πλημμύρας

- Πολύ Χαμηλή
- Χαμηλή
- Μέση
- Υψηλή
- Πολύ Υψηλή

Διοικητικά Όρια

- Όρια Δήμων

Κλίμακα 1:160.000

0 1 2 4 Km

Προβολικό Σύστημα Αναφοράς: ΕΓΣΑ 87

Κρίσιμα Σημεία

1ης προτεραιότητας κρίσιμα σημεία

- Κτίρια ενός της έκτασης της πλημμύρας

2ης προτεραιότητας κρίσιμα σημεία

- Υποδομές ενός της έκτασης της πλημμύρας

3ης προτεραιότητας κρίσιμα σημεία

- Πληροφορίες Χάρτη**

Ο χάρτης έχει δημιουργηθεί από την Επιχειρησιακή Μονάδα BEYOND του ΙΑΑΔΕΤ/ΕΑΑ (<http://beyond-eo-center.eu/>) και αφορά στην εκτίμηση του κινδύνου πλημμύρας για τη λεκάνη απορροής του ποταμού Κηφισού για την πέμπτη φάση του έργου.
Ημερομηνία Παραγωγής: 28/02/2024

Πηγές Δεδομένων

Ελληνικό Κτηματολόγιο, Copernicus Land Monitoring Service (CORINE, Urban Atlas), Open Street Map, ΕΕΑ, ΥΠΕΝ, ΕΜΥ, Υπουργείο Οικονομικών, ΕΛΣΤΑΤ, Υπουργείο Υποδομών και Μεταφορών

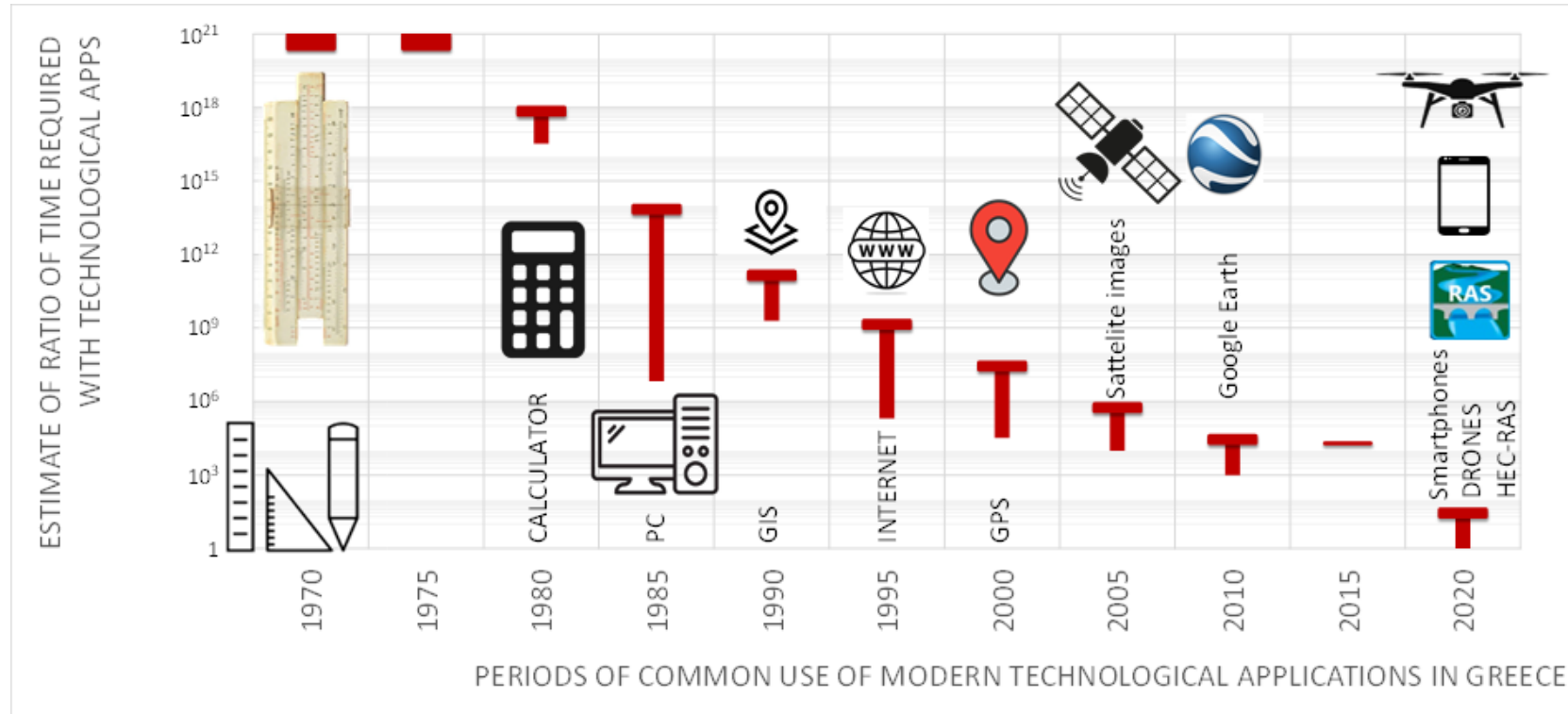
Στοιχεία Επικοινωνίας

Δρ. Χάρης Κοντοές, Διευθυντής Εργων ΕΑΑ
E-mail: kontoes@noa.gr

BEYOND funded under: FP7-REGPOT-2012-2013-1

[3, 4, 5]

Timeline of the appearance of modern tools



[6]

Timeline of the appearance of modern tools used for flood risk studies in Greece in terms of an estimated ratio of time required on the task with respect to using modern tools

Conclusions

A study of flood risk in 1970s would have the following limitations:

- Calculations to 2nd digit. Even if we assume that the calculations were correct, this limitation leads to computational errors.
- Time lag of the hydrological data was monthly. In present the time lag is 10 minutes.
- No simulation process for the creation of synthetic timeseries.
- The analysis in 1970s was in 1D. 2D analysis were not referred in Greece.
- The provided blueprint maps in 1970s (scale 1:5000) refers approximately to a cell's grid in DEM 250X250. The DEM background with cell 2X2 refers approximately to a map in scale 1:100.
- The hydraulic analysis in one dimension does not provide information for the two-dimensional flow. Therefore, it loses the information about the hydraulic losses from upstream in correlation with hydraulic supply with downstream. Modern methods diminish this issue.
- The cumulative progress which is depicted in the estimation of time optimization shows that studies with similar accuracy and visualization would be impossible in 1970s.

References

1. Ranzi, R., Werth, K., Gentilin, F., & Mangiapane, S. (2019). The Adige River map in 1: 20,736 scale by Leopoldo de Claricini-Dornpacher (1847). *e-Perimtron*, 14(1), 13-25. Available from: https://iris.unibs.it/bitstream/11379/515568/1/2019_Ranzi_et_al%40e-Perimtron_Claricini_completa.pdf
2. D. Koutsoyiannis, E. Vassilopoulos, and E. Karalis, Hydrological study - Report , Engineering study of the flood protection and drainage works and the dam in the Artzan-Amatovo region, Commissioner: Ministry of Public Works, Contractors: OTME, D. Constantinidis, METER, Report number 1, 70 pages, March 1982.
3. Sigourou, S., Tsouni, A., Pagana, V., Sargentis, G.-F., Dimitriadis, P., Ioannidis, R., Chardavellas, E., Dimitrakopoulou, D., Mamasis, N., Koutsoyiannis, D., and Kontoes, C. (An advanced methodology for field visits towards efficient flood management on building block level, EGU General Assembly 2023, Vienna, Austria, 24–28 Apr 2023, EGU23-16168, <https://doi.org/10.5194/egusphere-egu23-16168>, 2023.
4. Tsouni, A., Sigourou, S., Dimitriadis, P., Pagana, V., Iliopoulou, T., Sargentis, G.-F., Ioannidis, R., Chardavellas, E., Dimitrakopoulou, D., Mamasis, N., Koutsoyiannis, D., and Kontoes, C. Multi-parameter flood risk assessment towards efficient flood management in highly dense urban river basins in the Region of Attica, Greece, EGU General Assembly 2023, Vienna, Austria, 24–28 Apr 2023, EGU23-12624, <https://doi.org/10.5194/egusphere-egu23-12624>, 2023
5. Sargentis, G.-F., Sigourou, S., Multiparametric flood risk assessment. Management planning in high spatial resolution in Attica. *KTIRIO* 5/2024, 22-23, 2024.
6. Kougia, M., Sigourou, S., Dimitriadis, P., Ioannidis, R., Tsouni, A., Sargentis, G.-F., Dimitrakopoulou, D., Chardavellas, E., Mamassis, N., Koutsoyiannis, D., and Kontoes, C. Modern vs traditional mapping methods for flood risk estimation: A case study for the river Pikrodafni, Athens, Greece, EGU General Assembly 2024, Vienna, Austria, 14–19 Apr 2024, EGU24-6459, <https://doi.org/10.5194/egusphere-egu24-6459>, 2024.

Acknowledgments

The research about the flood risk assessment in the Pikrodafni river basin was conducted by the NOA/IAASARS/BEYOND and NTUA/ITIA research teams, funded in the framework of the Programming Agreement signed on 03/03/2021 between the Prefecture of Attica (Greece) and the National Observatory of Athens (NOA) entitled “Earthquake, fire and flood risk assessment in the region of Attica” (2021-2024).